

ДИНАМИКА ИЗМЕНЕНИЯ НАТЯЖЕНИЯ ОСНОВЫ

С.Г. СТЕПАНОВ, Н.А. МАМЛИН, Г.В. СТЕПАНОВ

(Ивановская государственная архитектурно-строительная академия,
Ивановская государственная текстильная академия)

Проф. В.А. Гордеевым в [1] и [2] отмечено, что изменение натяжения нитей основы за определенный период работы ткацкого станка можно представить в форме тригонометрического полинома, где значения величин амплитуд и начальных фаз отдельных гармоник находятся методом шаблонов. На наш взгляд, целесообразнее описать циклическое изменение натяжения основы рядом Фурье, который идентичен тригонометрическому полиному, и где коэффициенты ряда подсчитываются по приведенным ниже формулам.

Покажем методику применения ряда Фурье и получим аналитическое выражение изменения натяжения основы для специальной технической декоративной ткани, в которой по фону полотняного переплетения имеются отдельные мелкоузорчатые основные и уточные перекрытия.

Ткань выработана на ткацком станке СТБ2-180 с зевообразовательной кареткой СКН-14-2 и состоит из высокомодульных комплексных фениловых нитей 29 текс. Плотность по основе 200, по утку 240 нитей/дм. Ширина ткани 170 см. Частота вращения главного вала станка составляла 250 об/мин. В заправке станка использовалось 14 ремизок.

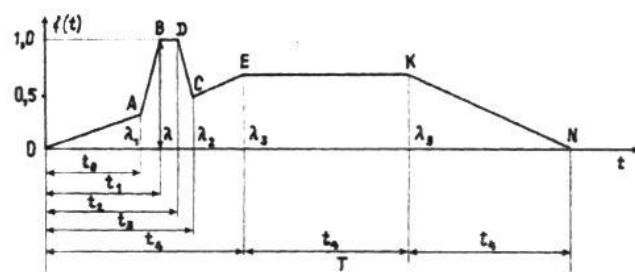


Рис. 1

Представим аналог изменения натяжения основы в виде графика OABDCEKN (рис. 1). Начало координат соответствует фазе заступа, OA – раскрытию зева, ABDC – прибою уточны, CE – продолжению раскрытия зева, EK – выстою зева в крайнем верхнем положении, KN – закрытию зева.

График построен на основании осциллограммы и без учета начального натяжения основы, то есть соответствует только ее динамическому изменению.

Значение t_0 отражает начало прибоя; t_1 и t_2 – время нахождения берда в крайнем переднем положении; t_3 – момент отхода берда от опушки ткани; t_4 – начало выстоя зева; T – период; $\lambda, \lambda_1, \lambda_2, \lambda_3$ – значение ординат при соответствующих t_i .

Используя обозначения рисунка и уравнения прямой, проходящей через две точки, запишем:

$$f(t) = \begin{cases} C_0 t, & \text{при } 0 \leq t \leq t_0, \\ C t + C_1, & \text{при } t_0 \leq t \leq t_1, \\ \lambda, & \text{при } t_1 \leq t \leq t_2, \\ C_2 t + C_3, & \text{при } t_2 \leq t \leq t_3, \\ C_4 t + C_5, & \text{при } t_3 \leq t \leq t_4, \\ \lambda_3, & \text{при } t_4 \leq t \leq 2t_4, \\ 3\lambda_3 - C_6 t, & \text{при } 2t_4 \leq t \leq 3t_4. \end{cases} \quad (1)$$

Система (1) отражает изменение функции $f(t)$ в интервале от $t = 0$ до $T = 3t_4$, а коэффициенты C_i соответствуют отношению ординат к приращению аргумента на определенном участке графика.

Значения t_i , λ_i , C_i , p – круговая частота, а также ряд других показателей приведены в табл. 1.

Таблица 1						
n	T	p	$t_i, \text{с}$	t_i / T	$\lambda_i, \text{мм}$	$C_i, \text{мм/с}$
250 об/мин	0,24 с	26,167 с ⁻¹	$t_0 = 0,036$ $t_1 = 0,043$ $t_2 = 0,05$ $t_3 = 0,053$ $t_4 = 0,08$	$t_0 / T = 0,1525$ $t_1 / T = 0,18$ $t_2 / T = 0,208$ $t_3 / T = 0,221$ $t_4 / T = 0,033$	$\lambda = 1$ $\lambda_1 = 0,32 \lambda$ $\lambda_2 = 0,466 \lambda$ $\lambda_3 = 0,7 \lambda$	$C_0 = 8,75 \lambda$ $C = 101,5 \lambda$ $C_1 = -3,4 \lambda$ $C_2 = -161,7 \lambda$ $C_3 = 9,08 \lambda$ $C_4 = 8,75 \lambda$ $C_5 \approx 0,00$ $C_6 = 8,75 \lambda$

Разложим (1) в ряд Фурье. В связи с этим получим аналог изменения натяжения основной нити (основы) за один оборот главного вала станка. Поскольку

функция (1) не является четной, а к нечетной ее также отнести нельзя, то ряд Фурье запишем в следующем виде [3]:

$$f(x) = \frac{a_0}{2} + \sum_{n=1}^{\infty} \left(a_n \cos \frac{\pi n x}{\ell} + b_n \sin \frac{\pi n x}{\ell} \right), \quad (2)$$

где коэффициенты ряда a_n , b_n , и a_0 подсчитываются по формулам:

$$a_n = \frac{1}{\ell} \int_{-\ell}^{\ell} f(x) \cos \frac{\pi n x}{\ell} dx, \quad (3)$$

$$b_n = \frac{1}{\ell} \int_{-\ell}^{\ell} f(x) \sin \frac{\pi n x}{\ell} dx, \quad (4)$$

$$a_0 = \frac{a_0}{\ell} \int_{-\ell}^{\ell} f(x) dx. \quad (5)$$

Применительно к нашему случаю ряд (2) примет вид:

$$f(t) = \frac{a_0}{2} + \sum_{n=1}^{\infty} (a_n \cos p n t + b_n \sin p n t). \quad (6)$$

Здесь $p = 2\pi / T$ (табл. 1).

Учитывая, что (1) является функцией

времени, разложение в ряд осуществляется в интервале $0 \leq t \leq T$. Тогда формулы (3)...(5) примут вид:

$$a_n = \frac{2}{T} \int_0^T f(t) \cos p n t dt, \quad (7)$$

$$b_n = \frac{2}{T} \int_0^T f(t) \sin p n t dt, \quad (8)$$

$$a_0 = \frac{2}{T} \int_0^T f(t) dt. \quad (9)$$

Используя (1) и (7), найдем коэффициенты ряда при косинусах:

$$\begin{aligned}
 a_n = & \frac{2}{T} \int_0^T f(t) \cos p n t dt = \frac{2}{T} [C_0 \int_0^{t_0} t \cos p n t dt + \\
 & + \int_{t_0}^{t_1} (C_1 t + C_2) \cos p n t dt + \lambda \int_{t_1}^{t_2} \cos p n t dt + \int_{t_2}^{t_3} (C_3 t + C_4) \cos p n t dt + \\
 & + \int_{t_3}^{t_4} (C_4 t + C_5) \cos p n t dt + \lambda_3 \int_{t_4}^{2t_4} \cos p n t dt + \int_{2t_4}^{3t_4} (3\lambda_3 - C_6 t) \cos p n t dt]. \quad (10)
 \end{aligned}$$

Из (10) следует:

$$\begin{aligned}
 a_n = & \frac{2\lambda}{p^2 n^2 T} (-92,75 \cos p n t_0 + 101,5 \cos p n t_1 + 161,7 \cos p n t_2 - \\
 & - 170,45 \cos p n t_3 + 8,75 \cos p n t_4 + 8,75 \cos 2p n t_4 - 17,5). \quad (11)
 \end{aligned}$$

С учетом значений p , T и t_i равенство (11) примет вид:

$$\begin{aligned}
 a_n = & \frac{0,1065\lambda}{n^2} (-10,6 \cos 0,958n + 11,6 \cos 1,133n + 18,5 \cos 1,3084n - \\
 & - 19,5 \cos 1,395n - \cos 2,093n + \cos 4,187n - 2). \quad (12)
 \end{aligned}$$

Значения коэффициентов a_n приводятся в табл. 2.

Таблица 2			
n	a_n	b_n	a_0
1	- 0,3 λ	0,075 λ	
2	- 0,123 λ	0,055 λ	
3	- 0,053 λ	- 0,024 λ	
4	- 0,015 λ	- 0,053 λ	
5	0,036 λ	0,056 λ	
6	0,031 λ	0,037 λ	
7	- 0,03 λ	0,04 λ	
8	- 0,03 λ	- 0,005 λ	
9	- 0,01 λ	- 0,037 λ	
10	0,024 λ	- 0,019 λ	
11	0,024 λ	0,017 λ	
12	0,002 λ	0,025 λ	
13	- 0,025 λ		0,933 λ

Определим коэффициенты b_n при синусах. Учитывая (1) и (8), получим:

$$\begin{aligned}
 b_n = & \frac{2}{T} \int_0^T f(t) \sin p n t dt = \frac{2}{T} [C_0 \int_0^{t_0} t \sin p n t dt + \\
 & + \int_{t_0}^{t_1} (C_1 t + C_2) \sin p n t dt + \lambda \int_{t_1}^{t_2} \sin p n t dt + \int_{t_2}^{t_3} (C_3 t + C_4) \sin p n t dt + \\
 & + \int_{t_3}^{t_4} (C_5 t + C_6) \sin p n t dt + \lambda_3 \int_{t_4}^{2t_4} \sin p n t dt + \int_{2t_4}^{3t_4} (3\lambda_3 - C_7 t) \sin p n t dt]. \quad (13)
 \end{aligned}$$

Из (13) имеем:

$$\begin{aligned}
 b_n = & \frac{2\lambda}{p^2 n^2 T} (-92,75 \sin p n t_0 + 101,5 \sin p n t_1 + 161,7 \sin p n t_2 - \\
 & - 170,45 \sin p n t_3 + 8,75 \sin p n t_4 + 8,75 \sin 2p n t_4). \quad (14)
 \end{aligned}$$

Учитывая значения p , T , t_i и выполнив преобразования, запишем равенство для

$$b_n = \frac{0,1065\lambda}{n^2} (-10,6 \sin 0,958n + 11,6 \sin 1,133n + 18,48 \sin 1,308n - 19,48 \sin 1,395n). \quad (15)$$

Значения коэффициентов b_n даны в табл. 2.

При нахождении коэффициентов a_n и b_n мы ограничились их количеством соответственно 13 и 12. Расчеты показывают, что

вычисления коэффициентов b_n :

нет необходимости увеличивать число коэффициентов. Это следует из материала, приведенного ниже.

Вычислим постоянную ряда, для чего используем (1) и (9):

$$\begin{aligned}
 a_n = & \frac{2}{T} \int_0^T f(t) dt = \frac{2}{T} [C_0 \int_0^{t_0} t dt + \int_{t_0}^{t_1} (C_1 t + C_2) dt + \lambda \int_{t_1}^{t_2} dt + \int_{t_2}^{t_3} (C_3 t + C_4) dt + \\
 & + \int_{t_3}^{t_4} (C_5 t + C_6) dt + \lambda_3 \int_{t_4}^{2t_4} dt + \int_{2t_4}^{3t_4} (3\lambda_3 - C_7 t) dt]. \quad (16)
 \end{aligned}$$

Из (16): $a_0 = 0,933 \lambda$.

Поскольку значения коэффициентов a_n , b_n и a_0 определены и приводятся в табл. 2,

то нет необходимости выписывать ряд (6) в полном объеме. Запишем его в сокращенном виде:

$$f(t) = \lambda (0,466 + \sum_{n=1}^{13} a_n \cos \frac{2\pi n t}{T} + \sum_{n=1}^{12} b_n \sin \frac{2\pi n t}{T}) \quad (17)$$

или

$$f(t) = \lambda (0,466 + \sum_{n=1}^{13} a_n \cos p n t + \sum_{n=1}^{12} b_n \sin p n t). \quad (18)$$

Ряд (18) соответствует аналогу измене-

ния натяжения нитей основы за один об-

рот главного вала станка и отражает только динамическую составляющую полного ее натяжения. Последнее можно определить, если воспользоваться равенством

$$F = F_0 + f(t) \cdot F_{\partial}, \quad (19)$$

где F_0 – начальное натяжение основы; F_d – максимальное динамическое натяжение основы, наблюдаемое при прибое утка.

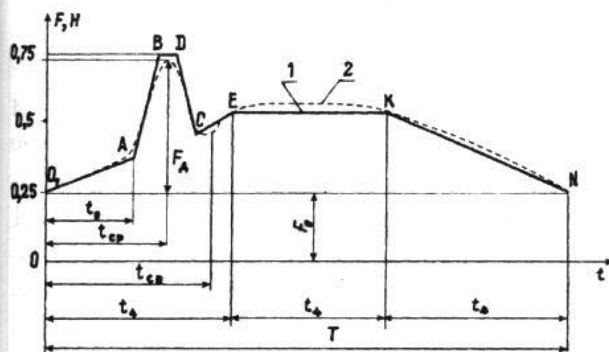


Рис. 2

На рис.2 представлен график изменения натяжения основы, где t_{CP} и t_{CE} соответствуют среднему значению величин t_1 , t_2 и t_3 , t_4 . Единицей обозначена кусочно-линейная функция, цифрой 2 – кривая, построенная на основании ряда (18). Следует отметить близкое совпадение графиков 1 и

2. Если требуется большая точность, то количество членов ряда необходимо увеличить. В этом случае все расчеты можно выполнить на ЭВМ.

ВЫВОДЫ

1. Приведена методика применения рядов Фурье к исследованию динамики изменения натяжения основы.
 2. Получено аналитическое соотношение изменения натяжения основы применительно к станку типа СТБ и ткани полотняного переплетения, которое можно использовать для анализа циклической деформации ткани.

ЛИТЕРАТУРА

1. Гордеев В.А. Динамика механизмов отпуска и натяжения основы ткацких станков. – М.: Легкая индустрия, 1965.
 2. Гордеев В.А., Волков П.В. Ткачество. – М.: Легкая и пищевая промышленность, 1986. С.418..425.
 3. Бронштейн И.Н., Семенджиев К.А. // Справочник по математике. – М : Наука, 1986. С 418 – 425

Рекомендована кафедрой механической технологии текстильных материалов. Поступила 29.01.04.